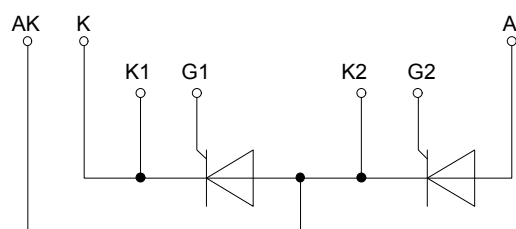
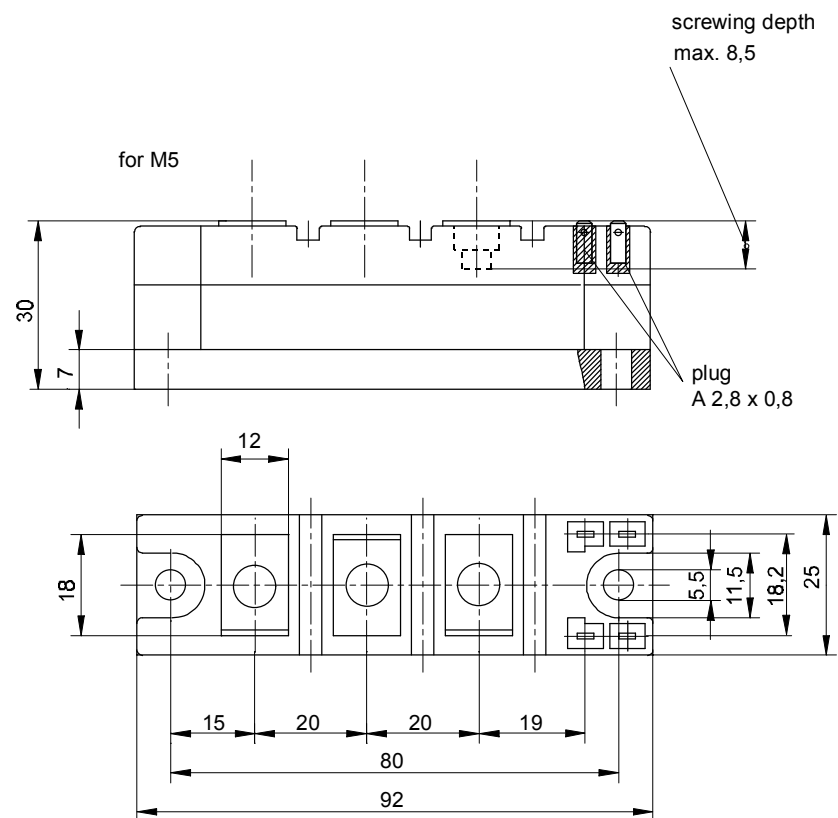




European Power-  
Semiconductor and  
Electronics Company  
GmbH + Co. KG

## Marketing Information TT 106 N



# TT 106 N, TD 106 N, DT 106 N

|   |  |  |                                   |  |                        |  |
|---|--|--|-----------------------------------|--|------------------------|--|
| Elektrische Eigenschaften                               |  | Electrical properties  |                                   |  |                        |  |
| <i>Höchstzulässige Werte</i>                            |  | <i>Maximum rated values</i>  |                                   |  |                        |  |
| Periodische Vorwärts- und Rückwärts-Spitzenperrspannung | repetitive peak forward off-state and reverse voltages | $t_{vj} = -40^{\circ}\text{C} \dots t_{vj\ max}$   | $V_{\text{DRM}}, V_{\text{RRM}}$  | 600 800 1000<br>1200 1400<br>1600 1800 | V                      |  |
| Vorwärts-Stoßspitzenperrspannung                        | non-repetitive peak forward off-state voltage          | $t_{vj} = -40^{\circ}\text{C} \dots t_{vj\ max}$   | $V_{\text{DSM}} = V_{\text{DRM}}$ |  | V                      |  |
| Rückwärts-Stoßspitzenperrspannung                       | non-repetitive peak reverse voltage                    | $t_{vj} = +25^{\circ}\text{C} \dots t_{vj\ max}$   | $V_{\text{RSM}} = V_{\text{RRM}}$ | + 100                                  | V                      |  |
| Durchlaßstrom-Grenzeffektivwert                         | RMS on-state current                                   |  | $I_{\text{TRMSM}}$                | 180                                    | A                      |  |
| Dauergrenzstrom   | average on-state current                               | $t_c = 85^{\circ}\text{C}$<br>$t_c = 78^{\circ}\text{C}$   | $I_{\text{TAVM}}$                 | 106                                    | A                      |  |
| Stoßstrom-Grenzwert                                     | surge current  | $t_{vj} = 25^{\circ}\text{C}, t_p = 10 \text{ ms}$<br>$t_{vj} = t_{vj\ max}, t_p = 10 \text{ ms}$  | $I_{\text{TSM}}$                  | 2250                                   | A                      |  |
| Grenzlastintegral                                       | $\int i^2 t$ -value                                    | $t_{vj} = 25^{\circ}\text{C}, t_p = 10 \text{ ms}$<br>$t_{vj} = t_{vj\ max}, t_p = 10 \text{ ms}$  | $\int i^2 dt$                     | 25300                                  | $\text{A}^2\text{s}$   |  |
| Kritische Stromteilheit                                 | current  | $v_D \leq 67\%, V_{\text{DRM}}, f_o = 50 \text{ Hz}$   | $(di/dt)_{\text{cr}}$             | 20000                                  | $\text{A}^2\text{s}$   |  |
| Kritische Spannungssteilheit                            | voltage  | $v_L = 10 \text{ V}, i_{\text{GM}} = 0,6 \text{ A}, di_G/dt = 0,6 \text{ A}/\mu\text{s}$<br>$t_{vj} = t_{vj\ max}, v_D = 0,67 V_{\text{DRM}}$                    | $(dv/dt)_{\text{cr}}$             | 150                                    | $\text{A}/\mu\text{s}$ |  |
| <i>Charakteristische Werte</i>                          |  | <i>Characteristic values</i>   |                                   |  |                        |  |
| Durchlaßspannung  | on-state voltage                                       | $t_{vj} = t_{vj\ max}, i_T = 300 \text{ A}$  | $v_T$                             | max.1,78                               | V                      |  |
| Schleusenspannung                                       | threshold voltage                                      | $t_{vj} = t_{vj\ max}$   | $V_{T(\text{TO})}$                | 0,9                                    | V                      |  |
| Ersatzwiderstand  | slope resistance                                       | $t_{vj} = t_{vj\ max}$   | $r_T$                             | 2,6                                    | $\text{m}\Omega$       |  |
| Zündstrom   | gate trigger current                                   | $t_{vj} = 25^{\circ}\text{C}, v_D = 6 \text{ V}$   | $I_{\text{GT}}$                   | max. 150                               | mA                     |  |
| Zündspannung  | gate trigger voltage                                   | $t_{vj} = 25^{\circ}\text{C}, v_D = 6 \text{ V}$   | $V_{\text{GT}}$                   | max.1,4                                | V                      |  |
| Nicht zündender Steuerstrom                             | gate non-trigger current                               | $t_{vj} = t_{vj\ max}, v_D = 6 \text{ V}$  | $I_{\text{GD}}$                   | max.5                                  | mA                     |  |
| Nicht zündende Steuerspannung                           | gate non-trigger voltage                               | $t_{vj} = t_{vj\ max}, v_D = 0,5 V_{\text{DRM}}$   | $V_{\text{GD}}$                   | max.0,2                                | V                      |  |
| Haltestrom  | holding current  | $t_{vj} = 25^{\circ}\text{C}, v_D = 6 \text{ V}, R_A = 5 \Omega$   | $I_H$                             | max. 200                               | mA                     |  |
| Einraststrom  | latching current                                       | $t_{vj} = 25^{\circ}\text{C}, v_D = 6 \text{ V}, R_{\text{GK}} >= 10 \Omega$   | $I_L$                             | max. 620                               | mA                     |  |
| Vorwärts- und Rückwärts-Sperrstrom                      | forward off-state and reverse currents                 | $i_{\text{GM}} = 0,6 \text{ A}, di_G/dt = 0,6 \text{ A}/\mu\text{s}, t_g = 20 \mu\text{s}$<br>$t_{vj} = t_{vj\ max}, v_D = V_{\text{DRM}}, v_R = V_{\text{RRM}}$ | $i_D, i_R$                        | max. 30                                | mA                     |  |
| Zündverzug  | gate controlled delay time                             | $t_{vj}=25^{\circ}\text{C}, i_{\text{GM}} = 0,6 \text{ A}, di_G/dt = 0,6 \text{ A}/\mu\text{s}$  | $t_{\text{gd}}$                   | max.3                                  | $\mu\text{s}$          |  |
| Freiwerdezeit   | circuit commutated turn-off time                       | siehe Techn.Er./see Techn.Inf.   | $t_q$                             | typ.150                                | $\mu\text{s}$          |  |
| Isolations-Prüfspannung                                 | insulation test voltage                                | RMS, f = 50 Hz, t = 1 min  | $V_{\text{ISOL}}$                 | 3                                      | kV                     |  |
| Thermische Eigenschaften                                |  | Thermal properties   |                                   |  |                        |  |
| Innerer Wärmewiderstand                                 | thermal resistance, junction to case                   | $\Theta = 180^{\circ}\text{el,sinus: pro Modul/per module}$<br>DC: pro Modul/per module  | $R_{\text{thJC}}$                 | max.0,165                              | $^{\circ}\text{C/W}$   |  |
|   |  | pro Zweig/per arm  |                                   | max.0,33                               | $^{\circ}\text{C/W}$   |  |
| Übergangs-Wärmewiderstand                               | heatsink   | pro Modul/per module   | $R_{\text{thCK}}$                 | max.0,155                              | $^{\circ}\text{C/W}$   |  |
|   |  | pro Zweig/per arm  |                                   | max.0,31                               | $^{\circ}\text{C/W}$   |  |
| Höchstzul.Sperrschihttemperatur                         | max. junction temperature                              |  |                                   | max.0,04                               | $^{\circ}\text{C/W}$   |  |
| Betriebstemperatur                                      | operating temperature                                  |  |                                   | max.0,08                               | $^{\circ}\text{C/W}$   |  |
| Lagertemperatur   | storage temperature                                    |  |                                   | 140                                    | °C                     |  |
| Mechanische Eigenschaften                               | Mechanical properties                                  |  |                                   |  |                        |  |
| Gehäuse, siehe Seite                                    | case, see page   |  |                                   |  |                        |  |
| Si-Elemente mit Druckkontakt                            | Si-pellet with pressure contact                        |  |                                   |  |                        |  |
| Innere Isolation  | internal insulation                                    |  |                                   |  |                        |  |
| Anzugsdrehmoment für mechanische Befestigung            | mounting torque  | Toleranz/tolerance +/- 15%   | M1                                | 4                                      | Nm                     |  |
| Anzugsdrehmoment für elektrische Anschlüsse             | terminal connection torque                             | Toleranz/tolerance +5%/-10%  | M2                                | 4                                      | Nm                     |  |
| Gewicht   | weight   |  | G                                 | typ.250                                | g                      |  |
| Kriechstrecke   | creepage distance                                      |  |                                   | 15                                     | mm                     |  |
| Schwingfestigkeit                                       | vibration resistance                                   | f = 50 Hz  |                                   | 5 . 9,81                               | $\text{m/s}^2$         |  |
| Maßbild   | outline  |  |                                   | Seite/page 1                           |                        |  |

Diese Module können auch mit gemeinsamer Anode oder gemeinsamer Kathode geliefert werden.

These modules can also be supplied with common anode or common cathode.

Recognized by UNDERWRITERS LABORATORIES INC.

TT 106 N

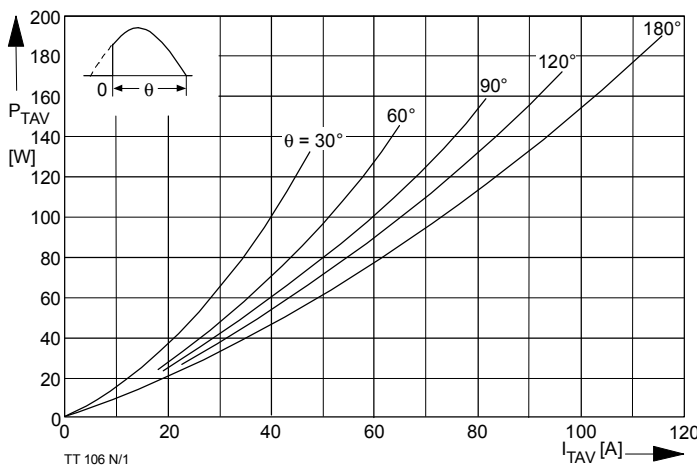


Bild / Fig. 1

Durchlaßverlustleistung je Zweig / On-state power loss per arm  
 $P_{TAV} = f(I_{TAV})$   
 Parameter: Stromflußwinkel / current conduction angle  $\theta$

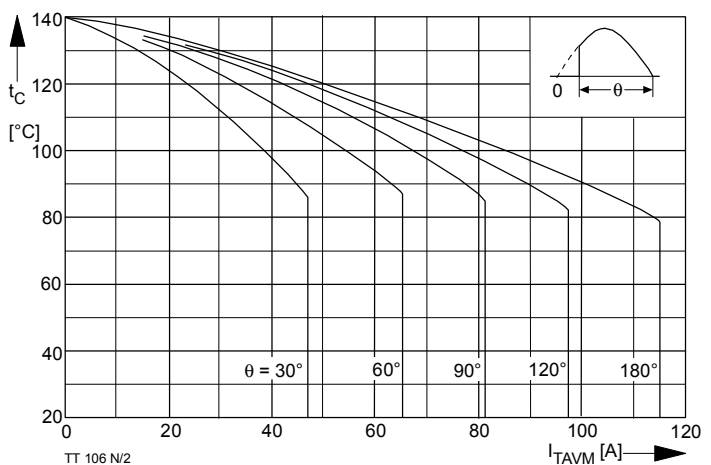


Bild / Fig. 2

Höchstzulässige Gehäusetemperatur / Maximum allowable case temperature  
 $t_C = f(I_{TAVM})$   
 Strombelastung je Zweig / current load per arm  
 Parameter: Stromflußwinkel / current conduction angle  $\theta$

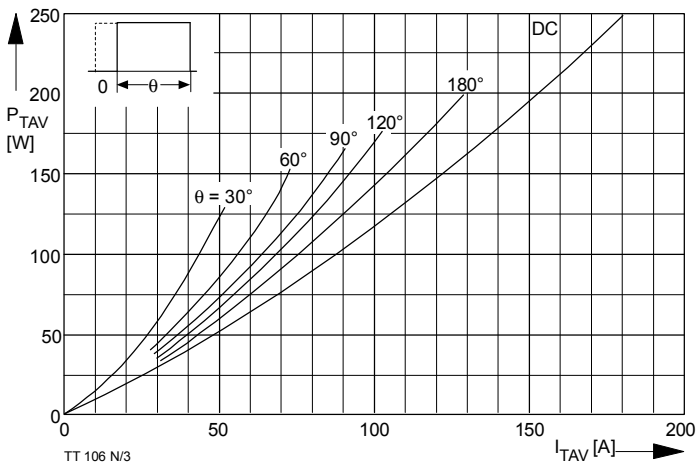


Bild / Fig. 3

Durchlaßverlustleistung je Zweig / On-state power loss per arm  
 $P_{TAV} = f(I_{TAV})$   
 Parameter: Stromflußwinkel / current conduction angle  $\theta$

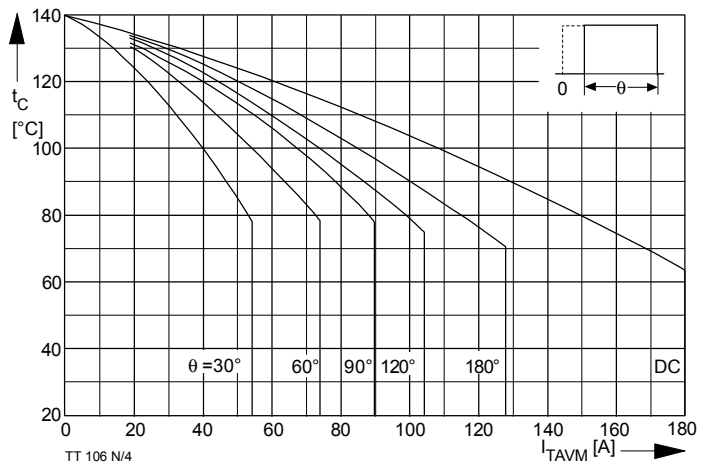


Bild / Fig. 4

Höchstzulässige Gehäusetemperatur / Maximum allowable case temperature  
 $t_C = f(I_{TAVM})$   
 Strombelastung je Zweig / current load per arm  
 Parameter: Stromflußwinkel / current conduction angle  $\theta$

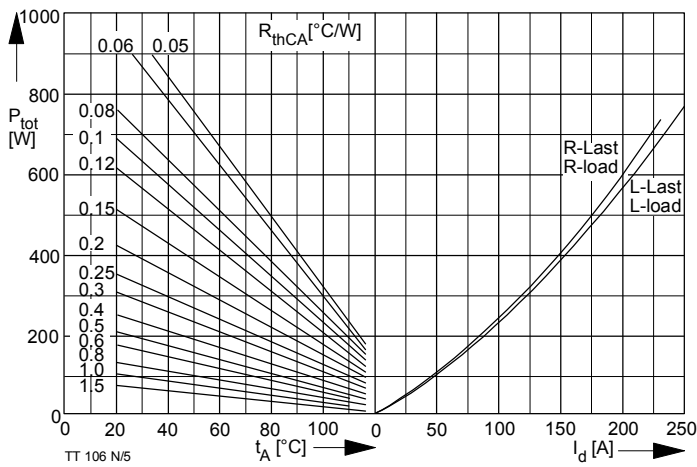


Bild / Fig. 5

B2 - Zweipuls-Brückenschaltung / Two-pulse bridge circuit  
 Höchstzulässiger Ausgangsstrom / Maximum rated output current  $I_d$   
 Gesamtverlustleist. der Schaltung / total power dissip. of the circuit  $P_{tot}$   
 Parameter: Wärmewiderstand zwischen Gehäuse und Umgebung / thermal resistance case to ambient  $R_{thCA}$

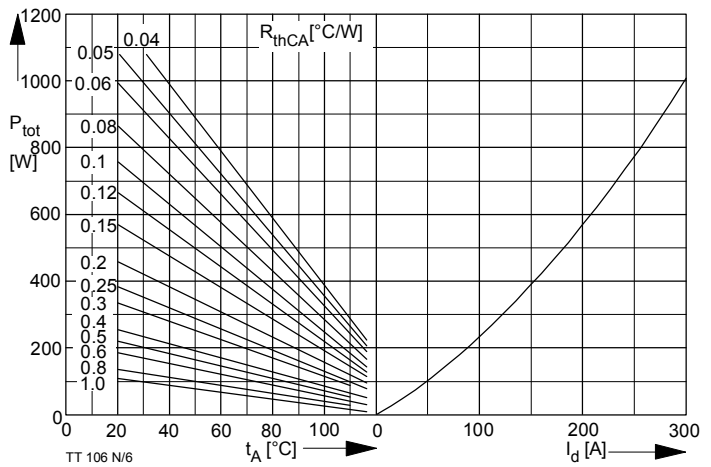


Bild / Fig. 6

B6 - Sechspuls-Brückenschaltung / Six-pulse bridge circuit  
 Höchstzulässiger Ausgangsstrom / Maximum rated output current  $I_d$   
 Gesamtverlustleist. der Schaltung / total power dissip. of the circuit  $P_{tot}$   
 Parameter: Wärmewiderstand zwischen Gehäuse und Umgebung / thermal resistance case to ambient  $R_{thCA}$

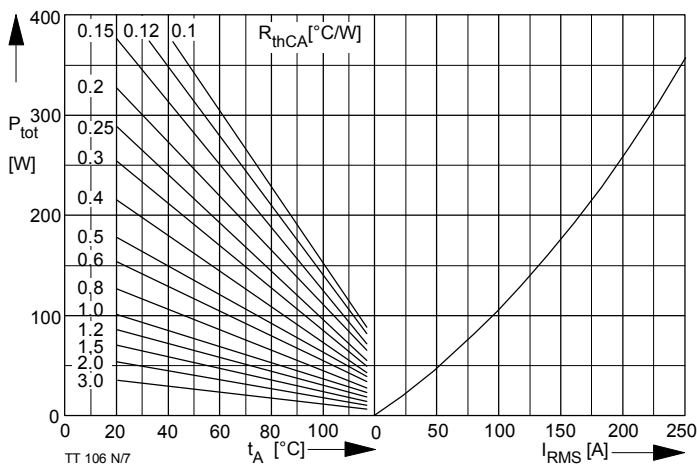


Bild / Fig. 7  
W1C - Einphasen-Wechselwegschaltung / Single-phase inverse parallel circuit  
Höchstzulässiger Effektivstrom / Maximum rated RMS current  $I_{\text{RMS}}$   
Gesamtverlustleist. der Schaltung / Total power dissip. of the circuit  $P_{\text{tot}}$   
Parameter: Wärmewiderstand zwischen Gehäuse und Umgebung/  
thermal resistance case to ambient  $R_{\text{thCA}}$

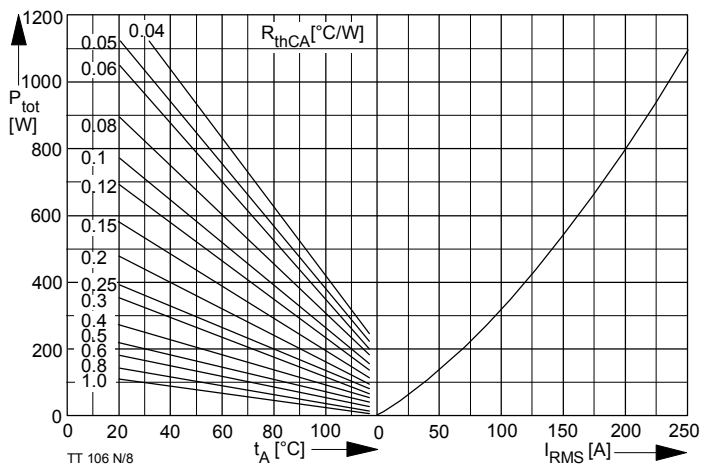


Bild / Fig. 8  
W3C - Dreiphasen-Wechselwegschaltung / Three-phase inverse parallel circuit  
Höchstzulässiger Effektivstrom je Phase / Maximum rated RMS current per phase  $I_{\text{RMS}}$   
Gesamtverlustleist. der Schaltung / Total power dissip. of the circuit  $P_{\text{tot}}$   
Parameter: Wärmewiderstand zwischen Gehäuse und Umgebung/  
thermal resistance case to ambient  $R_{\text{thCA}}$

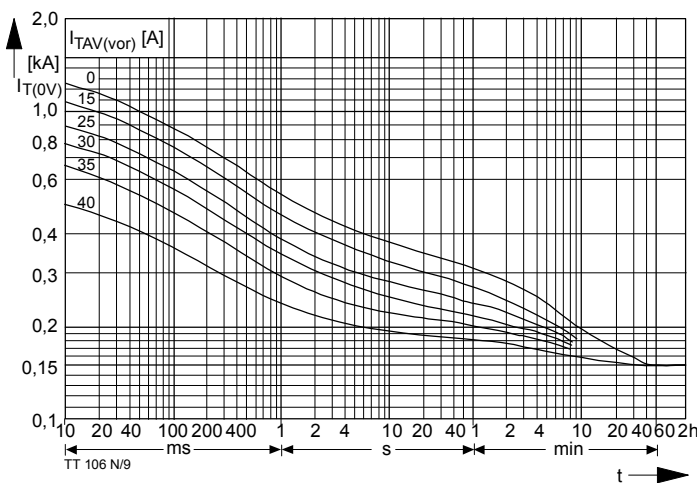


Bild / Fig. 9  
B2 - Zweipuls - Brückenschaltung / Two - pulse bridge circuit  
Überstrom je Zweig  $I_{\text{T(OV)}}$  bei Luftselbstkühlung,  $t_A=45^\circ\text{C}$ ,  
Kühlkörper KP0,33S /  
Overload on-state current per arm  $I_{\text{T(OV)}}$  at natural cooling,  $t_A=45^\circ\text{C}$ ,  
heat sink type KP 0,33S  
Parameter: Vorlaststrom je Zweig / pre-load current per arm  $I_{\text{TAV(vor)}}$

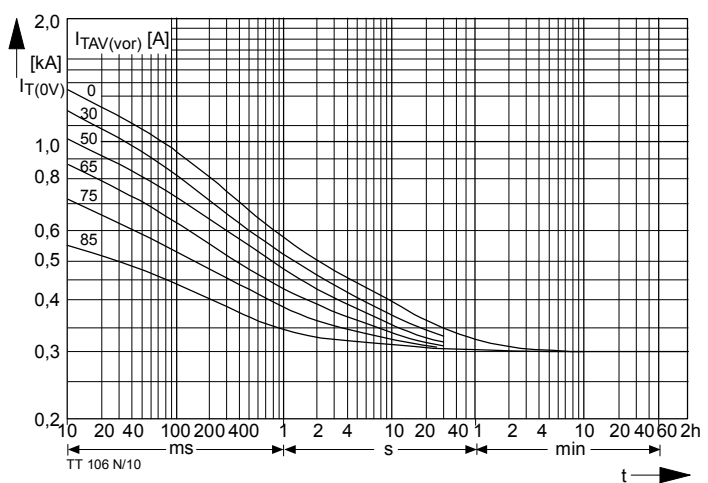


Bild / Fig. 10  
B2 - Zweipuls - Brückenschaltung / Two - pulse bridge circuit  
Überstrom je Zweig  $I_{\text{T(OV)}}$  bei verstärkter Luftkühlung,  $t_A=35^\circ\text{C}$ ,  $V_L=90\text{ l/s}$ ,  
Kühlkörper KP0,33S /  
Overload on-state current per arm  $I_{\text{T(OV)}}$  at forced cooling,  $t_A=35^\circ\text{C}$ ,  $V_L=90\text{ l/s}$ ,  
heat sink type KP 0,33S.  
Parameter: Vorlaststrom je Zweig / pre-load current per arm  $I_{\text{TAV(vor)}}$

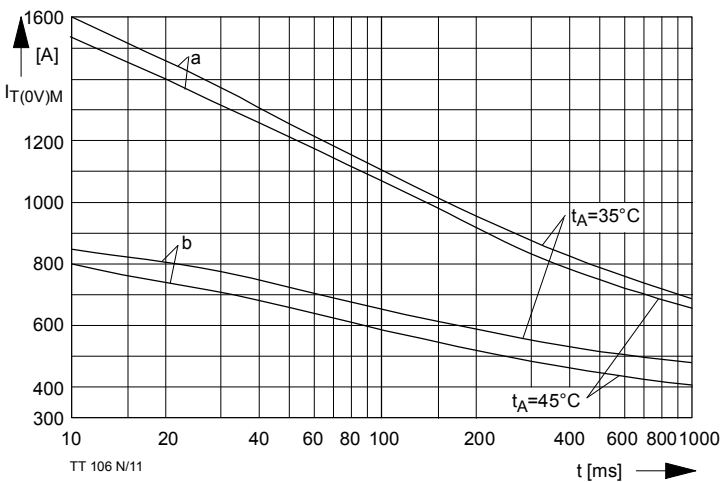


Bild / Fig. 11  
Grenzstrom je Zweig  $I_{\text{T(OV)M}}$  bei Luftselbstkühlung,  $t_A=45^\circ\text{C}$  und verstärkter Luftkühlung,  $t_A=35^\circ\text{C}$ , Kühlkörper KP 0,33S,  $V_{\text{RM}} = 0,8 V_{\text{RRM}}$ .  
Limiting overload on state current per arm  $I_{\text{T(OV)M}}$  at natural ( $t_A=45^\circ\text{C}$ ) and forced ( $t_A=35^\circ\text{C}$ ) cooling, heatsink type KP 0,33S,  $V_{\text{RM}}=0,8 V_{\text{RRM}}$ .  
a - Belastung nach Leerlauf / current surge under no-load conditions  
b - Belastung nach Betrieb mit Dauergrenzstrom  $I_{\text{TAVM}}$ /  
Current surge occurs during operation at limiting mean on- state current rating  $I_{\text{TAVM}}$

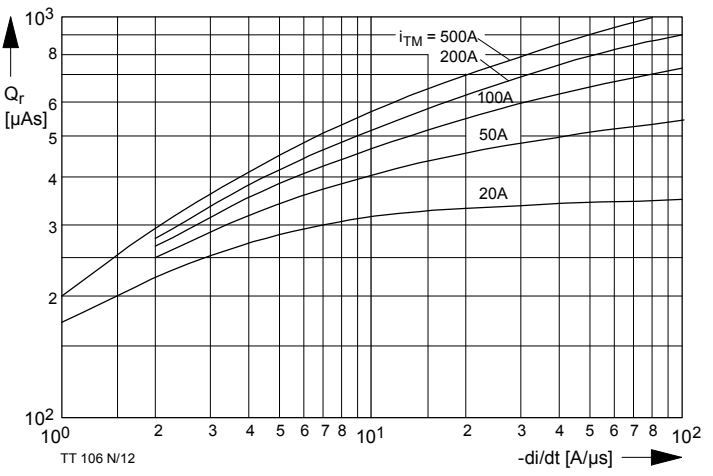
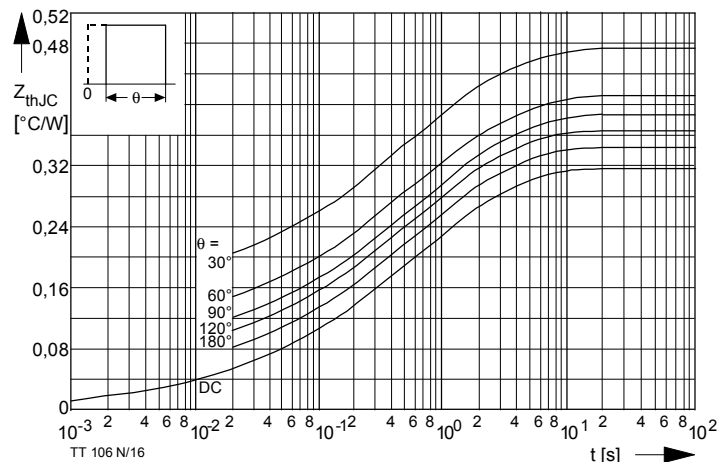
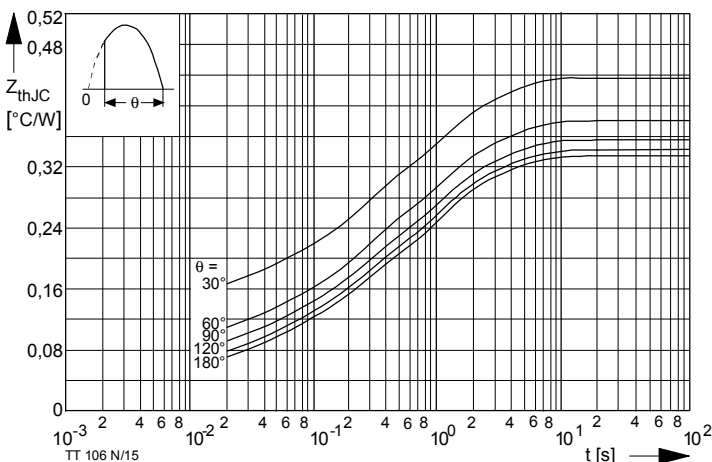
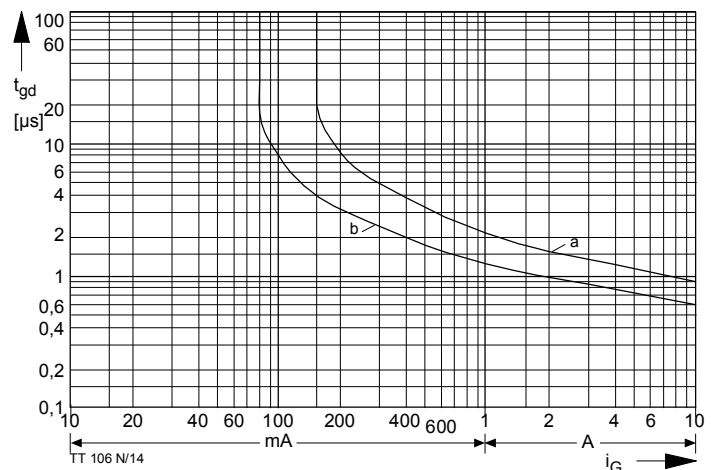
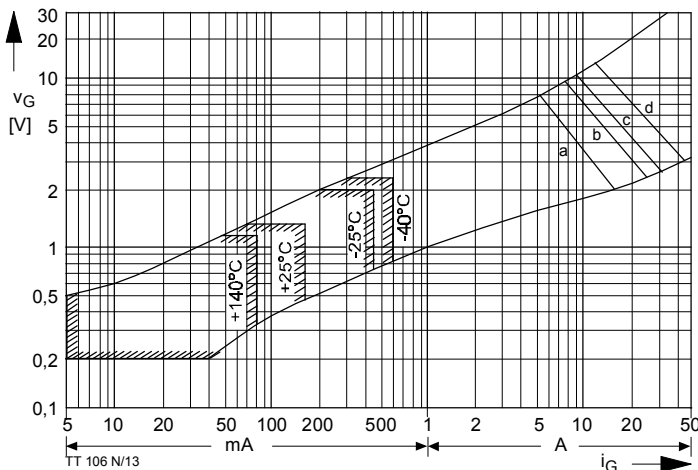


Bild / Fig. 12  
Sperrverzögerungsladung / Recovery charge  $Q_r = f(-di/dt)$   
 $t_{vj} = t_{vmax}$ ,  $V_R \leq 0,5 V_{\text{RRM}}$ ,  $V_{\text{RM}} = 0,8 V_{\text{RRM}}$   
Parameter: Durchlaßstrom / On-state current  $i_{\text{TM}}$



Analytische Elemente des transienten Wärmewiderstandes  $Z_{thJC}$  pro Zweig für DC  
Analytical elements of transient thermal impedance  $Z_{thJC}$  per arm for DC

| Pos. n                                  | 1      | 2      | 3     | 4    | 5    | 6 | 7 |
|---|--------|--------|-------|------|------|---|---|
| $R_{thn}$ [ $^\circ\text{C}/\text{W}$ ] | 0,0127 | 0,03   | 0,049 | 0,15 | 0,07 |   |   |
| $\tau_n$ [s]                            | 0,001  | 0,0092 | 0,074 | 0,57 | 3,51 |   |   |

Analytische Funktion / Analytical function:

$$Z_{thJC} = \sum_{n=1}^{n_{max}} R_{thn} (1 - e^{-\frac{t}{\tau_n}})$$